

수평원통관에서 선회유동의 후류에 관한 실험적 연구

장태현[†], 강창수^{*}

An Experimental Study on the Wake with Swirling Flow in a Horizontal Circular Tube

Tae-Hyun Chang and Chang-Soo Kang

Abstract

An experimental study is performed turbulent swirling flow behind a circular cylinder using 2-D PIV technique. The Reynolds number investigated is 15,000. The mean velocity vector, time mean axial velocity, turbulence intensity, kinetic energy and Reynolds shear stress behind the cylinder are measured before and behind the cylinder along the test tube.

Key Words : Particle Image Velocimetry(입자영상유속계), bluff body(각진 물체), Bimodal(쌍봉), Recirculating region(재순환 영역)

Nomenclature

A	: the cross section area
b	: height of the square cylinder
D	: diameter of the test section
d	: diameter of the cylinder
U	: axial velocity
\bar{U}	: time mean axial velocity
u', v'	: fluctuating velocity
Re	: Reynolds number
St	: Strouhal number
X	: axial coordinate
y	: radial distance

1. 서 론

원주나 사각실린더 같은 각진 물체(bluff body) 주위의 유동현상은 유체역학이나 산업 현장에서 매우 중요하고 고전적인 관심사였다. 이와 같은

유동장 내에서 장애물에 의한 후류의 영향은 유동의 박리와 와(渦)를 형성하여 항공 역학적인 항력, 구조물의 진동 그리고 난류 혼합과정에 직접적인 영향을 미치므로 지금까지 많은 연구가 진행되고 있다.

Coutanceau 등[1]은 원형실린더 후류에서 Reynolds 수 5 ~ 40 범위에서 속도를 측정하여 이론적 계산 결과와 비교하였고, Owen 과 Johnson 등[2]는 위상평균법을 이용하여 난류구조를 해석하였다. Cantwell[3]과 Coles[4]는 실린더의 근접후류에서 Flying Hot-Wire를 이용하여 난류운동방정식 중 레이놀즈 평균 향을 측정하여 난류구조를 설명하였다.

국내의 연구로는 부정숙[5]는 2차원 원주후류 유동을 통계학적인 방법을 이용하여 난류특성을 분석하였다. 조자희[6]은 열선풍속계를 이용하여 정사각관 후류에서 평균속도, 난류강도 및 운동에너지 등을 구하였다. 김경천 등[7]은 온도구배가 있는 유동장내에서 원주의 가열량을 변화하면서 속도와 온도신호를 동시에 측정하여 유동특성을 분석하였고, 최상호 등[8]은 외부음향기를 이용하여 후류의 유동특성과 와구조에 미치는 영향을 연구하였다. 열전달과 관련된 연구로는 윤순현 등[9]은 사각주 후류가 가스터빈 악령의 유

† 책임저자, 경남대학교 기계자동화공학부
E-mail : changtae@kyungnam.ac.kr

* 경북대학교 기계공학부

동 및 열전달에 미치는 영향을 연구하였다.

이와 같은 연구결과에서 보면 2000년대 이전은 열선풍속계나 LDV기법 그리고 스모크 등의 가시화 기법을 이용하여 각종 실린더의 후류에 대하여 연구하였다. 이 경우 그 결과는 한 점에서 정 측정에 불과하였고 열선풍속계등을 사용할 경우 프롱(prong)의 간섭을 배제할 수 없다.

근래에 와서 이 현 등[10]은 Multivision PIV(Particle Image Velocimetry) 기법을 이용하여 단순 물체 후류에서 유동의 특성을 연구하였고, Daichin 등[11]은 타원형의 구조물의 후류에서 PIV 기법을 사용하여 주 유동속도와 난류강도를 구하였다. 사각형의 실린더 후류에 대한 연구로는 Jang 등[12]는 직사각형 실린더에서 수치 해석 및 PIV기법으로 평균속도를 구하였으며, 이만복 등[13,14]은 정사각 실린더에서 PIV 기법을 이용하여 근접후류에 대하여 연구하였고, Doh[15]는 3차원 PIV 기법을 이용하여 원형실린더 후류에 대하여 연구하였다. 그러나 이와 같은 연구는 대부분이 실린더 입구유동이 균일 유동인 경우이다. 특히, fan coil unit 인 경우는 코일의 입구유동은 선회유동에 가깝다.

본 연구에서는 2차원 PIV 기법을 이용하여 수평 원형 관내에서 선회가 있는 원형 실린더의 후류의 난류유동에서 평균속도, 난류강도 그리고 Reynolds 응력 및 난류운동에너지 등을 구하여, 간결하고 효율적인 열교환기의 설계에 기여하고자 한다.

2. 실험장치

Fig. 1은 본 연구에 사용된 실험 장치의 개략도이다. 테스트 튜브는 $\phi 90$ 로 전체 길이는 3,000mm이고 두께 5mm의 아크릴 관으로 제작하였다.

원형 실린더의 크기는 $\phi 20\text{mm}$ 의 아크릴 봉으로 제작하였다. PIV시스템을 사용할 경우 원관의 테스트 튜브 외면에서 발생할 수 있는 유체의 밀도 차로 인한 굴절에 의한 측정 오차를 줄이기 위하여 테스트 튜브 외면에 300mm \times 600mm \times 200mm의 수조를 만들었다. 작동유체는 물을 사용하고, 와류실, 테스트 튜브 그리고 순환수 펌프(220V \times 3.75kW)로 다시 물탱크로 돌아갈 수 있도록 제작하였다. 테스트튜브 내에서 Reynolds 수를 조절하기 위하여 물 펌프의 회전수 조절기를 사용하였다. 비선회인 경우

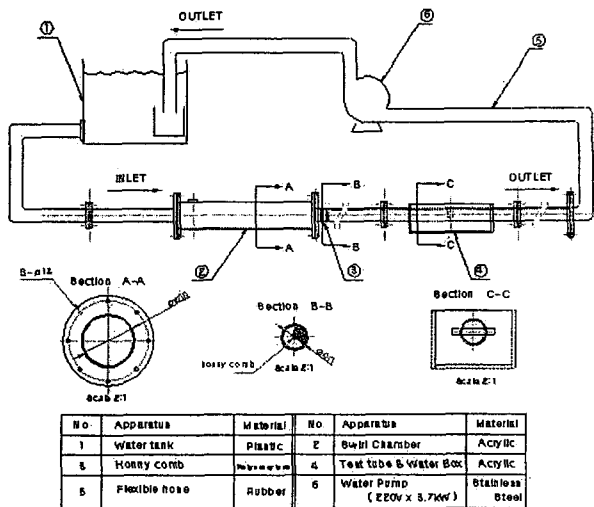


Fig. 1 Schematic diagram of the experimental apparatus

는 균일 유속을 만들기위하여 정류장치(honey-comb)를 테스트 튜브입구에 설치하였다.

2.1 실험방법

PIV용 광원은 공냉식 500mW Ar-ion 레이저를 사용했다. 광원의 이동을 용이하게 하기 위해 광케이블로 빛을 이동시킬 수 있는 LLSP(Laser Light Sheet Probe)를 사용했다. 또한 이 LLSP는 레이저 총의 두께를 약 1mm 정도 조절을 할 수도 있다. 광케이블의 길이는 약 10m이다. 펄스화된 광원을 얻기 위해서 AOM (Acoustic Optical Modulator)를 사용했다. 유동장의 특성을 파악하기 위해서 1초에 30장의 이미지를 획득할 수 있는 Panasonic 사의 CCD(Charge Couple Device) 카메라 (WV3P310)를 사용하였고, 영상

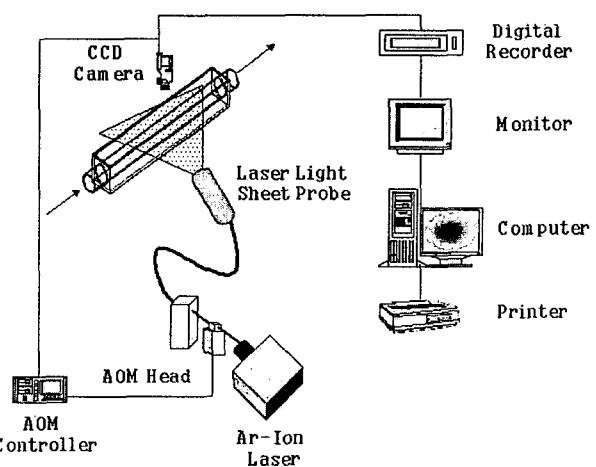


Fig. 2 Schematic arrangement of the PIV system

의 기록을 위해 디지털 레코드가 이용되었다. 그리고 획득된 이미지를 컴퓨터로 0에서 255단계의 gray 레벨로 전송하는 DT3155(640×480 pixel) 보드를 사용했다. 실험에 사용된 입자(particle)는 나일론12($80\mu\text{m}$)이다. 작업유체는 증유수를 사용했고 실험시의 온도는 20.8°C 이었다. Fig. 2는 본 실험에 사용된 PIV 시스템을 나타낸다.

3. 결과 및 고찰

3.1 속도 벡터

Fig. 3은 원형 실린더의 입구에서 $Re = 20,000$ 일 때의 순간속도벡터(Instantaneous Velocity Vector)를 나타낸다. 선회유동의 순간벡터는 지금까지 발표된 연구 결과와 같이 테스트 튜브의 중심부에서는 음의 속도 벡터를 나타내고 관벽 근처에서는 양의 속도벡터를 나타내었다.

Fig.4는 원형실린더 후류에서 $Re=20,000$ 인 경우 순간속도 벡터를 나타낸다. 초기의 전단층은 실린더의 양쪽으로부터 교대로 박리 되며, 원형 형태의 와류를 형성하면서 하류로 큰 곡률을 이루면서 유동하는 특징을 나타내고 있다.

3.2 평균 속도

Mizota 등[17]과 Okajima 등[18]은 열선 프

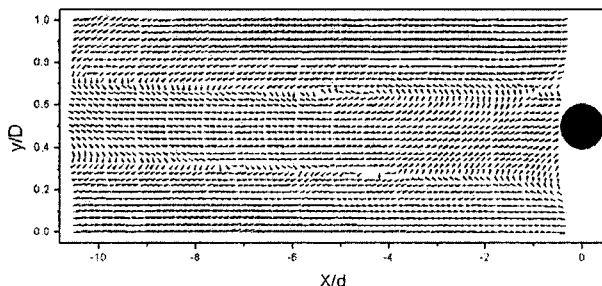


Fig. 3 Velocity Vector Distribution $Re=20,000$ at the Entry of the Test Tube.

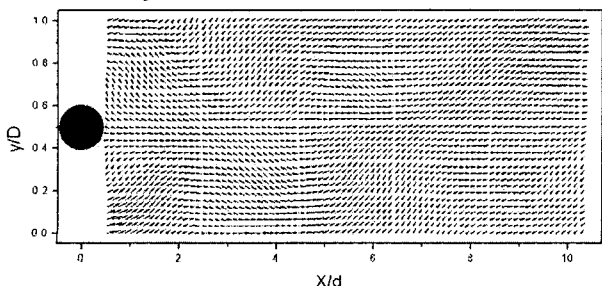


Fig. 4 Velocity Vector Distribution $Re=20,000$

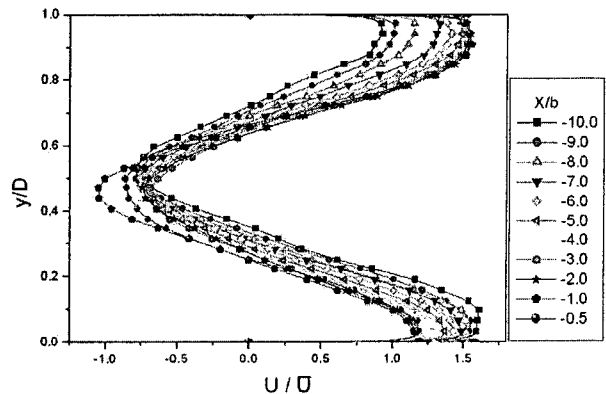


Fig. 5 Local Velocity Profile Distribution for $Re=20,000$ at the Entry of the Test Tube

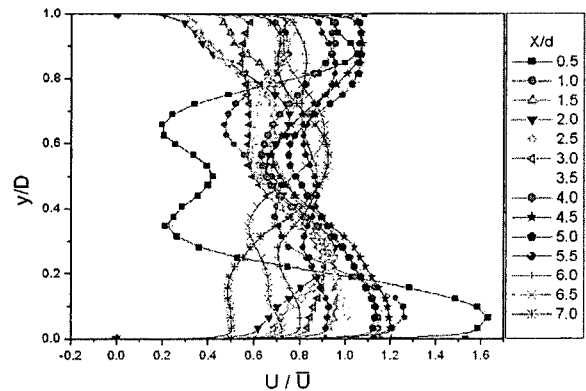


Fig. 6 Local Velocity Profile Distribution for $Re=20,000$

로브를 일렬로 세움으로써 사각 실린더 뒤의 근접영역에서 유동이 역류하는 영역을 측정하였고 유동형태의 변화는 폭과 높이의 비, 경사각의 변화에서 향력과 양력 그리고 스트로울(Strouhal) 수와 밀접한 관련이 있음을 보였다. Cantwell[3]은 원형 실린더후류에서 Reynolds 수 1.4×10^5 일 때 유동의 재순환 영역(Recirculating Region)이 $1.1d$ 라고 하였고, Owen 등[2]은 Reynolds 수 1.67×10^5 일 때 반구형태의 모델의 경우는 이 영역이 약 $1.3d$ 라고 하였다.

Fig. 5는 원형실린더 입구에서 선회가 있는 경우 국소 축방향속도분포를 Fig. 3의 순간속도ベ터로부터 계산한 결과이다. 이 속도 분포는 관중심부에서 음의 속도를 보이고 관벽근처에서 양의 최고 속도를 나타낸다. 이 결과는 지금까지 발표된 선회운동의 결과와 잘 부합된다.

Fig.6은 $Re = 20,000$ 에서 선회가 있는 경우 축방향속도분포를 나타내었다. 비선회유동과는 달리 $x/d = 0.5$ 에서 편심된 영역을 보이고 있고, x/d 가 증가할수록 이 영역이 짧아짐을 볼 수 있

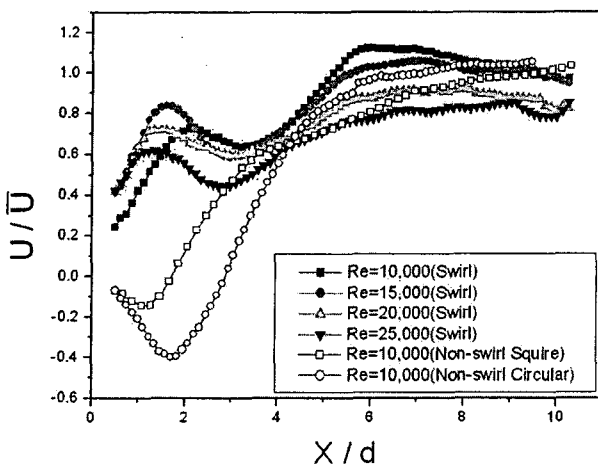


Fig. 7 Local Velocity Profile Distribution at the Center line

다. 이 현상은 선회유동에서 접선방향속도가 회전하는 방향에 기인하는 것으로 생각된다.

Fig. 7은 $Re = 10,000, 15000, 20,000$ 그리고 $25,000$ 일 때의 유동방향의 중심선상에서 선회유동과 $Re = 10,000$ 에서 비선회유동의 축방향속도를 원형실린더와 사각실린더의 결가를 비교한 것이다. 선회유동의 경우는 비선회유동에 비하여 U/\bar{U} 가 $0.2 \sim 0.8$ 로 높게 나타났고 비선회의 경우

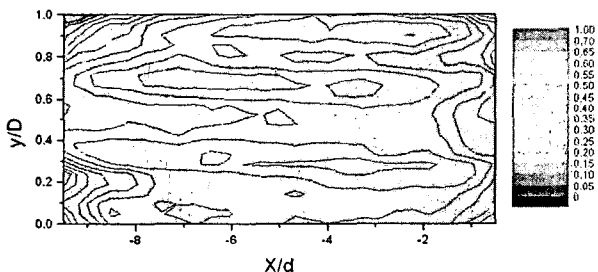


Fig. 8 Turbulent Intensity U Profiles
 $Re=20,000$

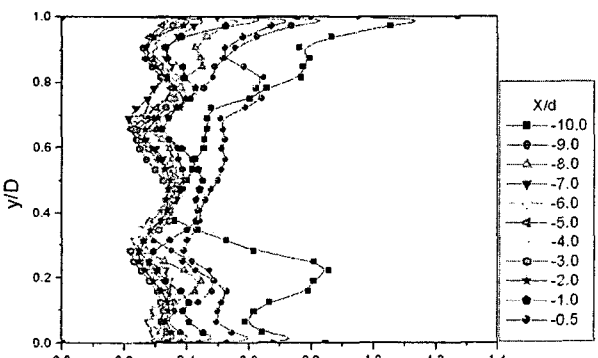


Fig. 9 Local Turbulent Intensity U Profile
 $Re=20,000$

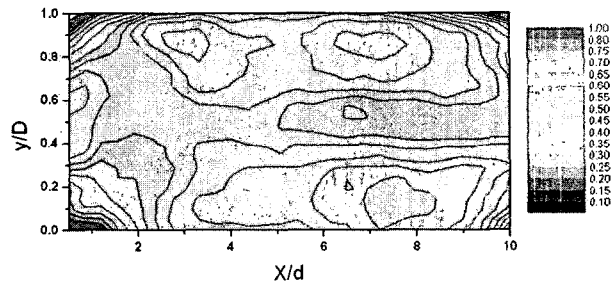


Fig. 10 Turbulent Intensity U Profiles
 $Re=20,000$

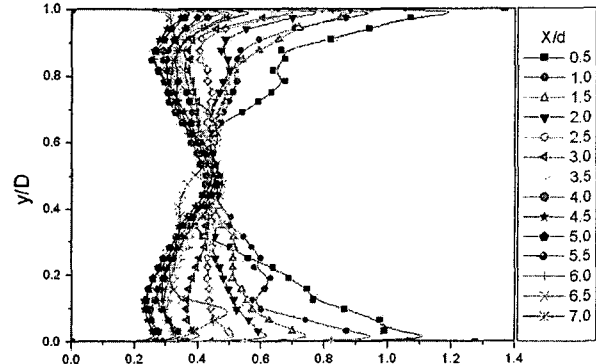


Fig. 11 Local Turbulent Intensity U Profile
 $Re=20,000$

는 $0.0 \sim 0.4$ 로 낮게 나타났다. 이 현상은 선회유동의 접선방향속도에 기인된 것으로 생각된다.

3.3 난류 강도

Fig. 8과 Fig. 9는 $Re = 20,000$ 에서 실린더입구에서의 난류강도이고, Fig. 10과 Fig. 11은 $Re = 20,000$ 에서 원형실린더 후류에 난류강도를 나타내고 있다. 실린더 입구에서의 난류강도 분포는 관벽근처와 $y/D=0.3 \sim 0.6$ 에서 최소 값을 보이고 있다. 이 현상은 지금까지 선회유동에서 나타나는 강선회의 결과로 생각된다.

그러나 Fig. 10과 Fig. 11의 실린더 후류에선는 난류강도의 최저 부분이 하나로 합치면서 테스터 튜브의 중심부분으로 이동하는 것을 알 수 있었다.

4. 결 론

선회가 있는 원형 실린더 후류에서 PIV기법 이용하여 다음과 같은 결론을 얻었다.

- 1) 선회가 있는 경우 축방향속도분포는 비선회유동과는 달리 $x/d = 0.5$ 에서 편심된 영역을 보이

고 있고, 또한, x/d 가 증가할수록 이 영역이 짧아짐을 볼 수 있다. 이 현상은 선회유동에서 접선방향속도의 회전하는 방향에 기인된 것으로 생각된다.

2) 유동방향의 중심선상에서 선회유동의 후류는 비선회유동에 비하여 가 0.2~0.8로 높게 나타났고 비선회의 경우는 0.0 ~ - 0.4로 낮게 나타났다. 이 현상은 선회유동의 접선방향속도에 기인된 것으로 생각된다.

후기

본 연구는 경남대학교 2004 학년도 학술논문 게재 연구비 지원으로 이루어졌습니다.

참고문헌

- [1] M. Coutanceau and R. Bouard, "Experimental Determination of the Main Features of the Viscous Flow in the Wake of a Circular Cylinder in Uniform Translation", Fluid mechanics, Vol. 79, No.2, pp. 231 ~ 259, 1969.
- [2] F. K. Owen, D. A. Johnson, "Measurments of Unsteady Vortex Flow Fields", AIAA, Vol. 18, pp. 1173~1179, 1980.
- [3] B. J. Cantwell, "A Flying Hot Wire Study of the Turbulent Near Wall of Circular Cylinder at a Reynolds Number of 140,000", California Institute of Technology, 1975.
- [4] Coles, D., "Prospects of useful research on coherent structure in turbulent shear flow", Proc. Indian Acad. Sci. (Engineering Sci.) 4 : pp. 111~127. 1983.
- [5] 부정숙, 원주후류의 2차원난류구조, 경북대학교 박사학위논문, 1985.
- [6] 조자희, 정사각 실린더 후류의 난류유동 특성 연구, 10월 충남대학교 석사학위 논문, 1990.
- [7] 김경천, 정양범, "열성층유동장에 놓인 원주후류의 특성에 대한 연구(4)", 대한기계학회논문집 제19권 제5호, pp. 1340 ~ 1350, 1995.
- [8] 최재호, 이상준, "외부 음향기가 원주 후류 유동에 미치는 효과에 관한 연구", 대한기계학회논문집 B권, 제23권 제5호, pp. 603 ~ 609, 1999.
- [9] 윤순현, 심재경, 우창수, 이대희, "사각주 후류가 선형터빈의 유동 및 열전달에 미치는 영향에 관한 연구", 대한기계학회논문집 B권 제23권 제7호, pp. 864 ~ 870, 1999.
- [10] 이현, Multivision PIV에 의한 단순물체 후류에서의 유동특성에 관한 연구, 2월, 한국해양대학교 석사학위논문, 2001.
- [11] Daichin, Sang Joon Lee, "Flow Field Analysis of Wake behind an Elliptic Cylinder Close to a Free Surface", Proceeding of the 6th Asian Symposium on Visualization, pp.216 ~ 218, 2001.
- [12] D. S. Jang, Y. W. Lee, D. H. Doh, C. S. Kang, and T. Kobayashi, "Large Eddyof Flow around a Bluff Body of Vehicle shape", Proceeding of the 6th Asian Symposiumon Visualization, pp. 335~340, 2001.
- [13] 이만복, PIV 기법을 이용한 정사각 실린더의 근접 후류에 관한 연구, 2001, 부산대학교 석사학위논문, 2001.
- [14] 이만복, 김경천, "PIV기법을 이용한 정사각 실린더의 근접후류에 관한 연구(I, II, III)", 대한기계학회 논문집 B권, 제25권 제10호, pp. 1408 ~ 1416, 2001.
- [15] D. H. Doh, "Probind 3-D Structures of the Wake Near a Circular Cylinder", Proceeding of the 6th Asian Symposium on Visualization, pp.335~340, 2001.
- [16] Rosko, A., "Experimentals on the flow past a circular cylinder at very high Reynolds number", J. of Fluid Mech. 10, pp. 345 ~356, 1961.
- [17] T. Mizota, A. Okajima, "A Experimental Studies of Mean Flow around Rectangular Prisms", Japan, Soc. Civ. Engrs 312, pp. 39~47, 1981.
- [18] A. Okajima, "Strouhal Numbers of Rectangular Cylinders", Kyushu Univ. pp. 379~398, 1982.
- [19] Y. T. Chew, "Numerical Flow Visualization of Flow Over A Square Cylinder at Incidence", Proceeding of the 6th Asian Symposium on Visualization, pp. 70~72, 2001.
- [20] M. Kiya, M. Matsumura, "Turbulent Structure in Intermediate Wake of a Circular Cylinder", JSME, pp. 51 ~ 463, 1985.